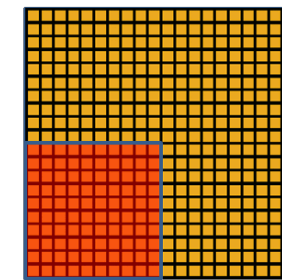
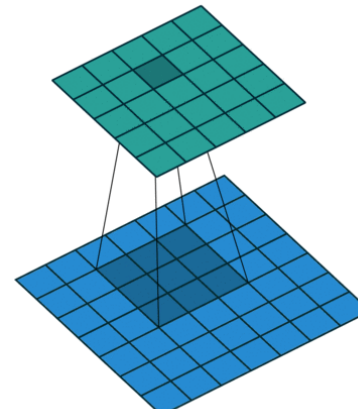
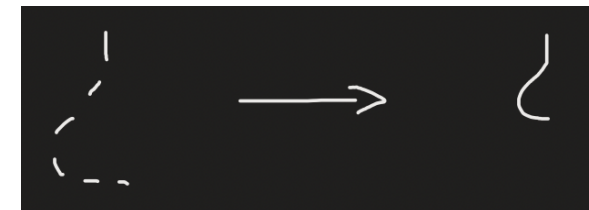
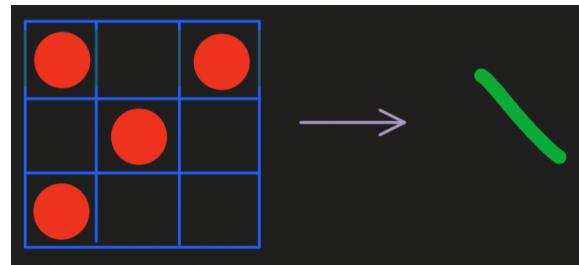
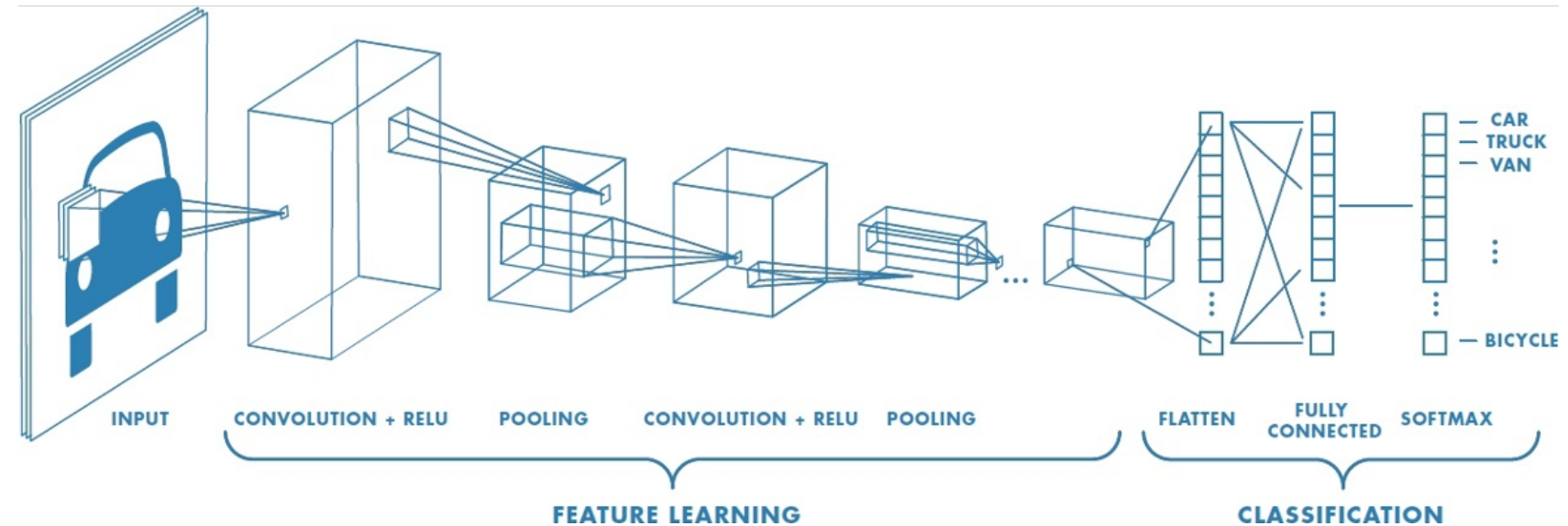
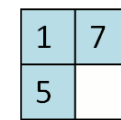


Капсульные нейронные сети

Свёрточные сети



Convolved
feature



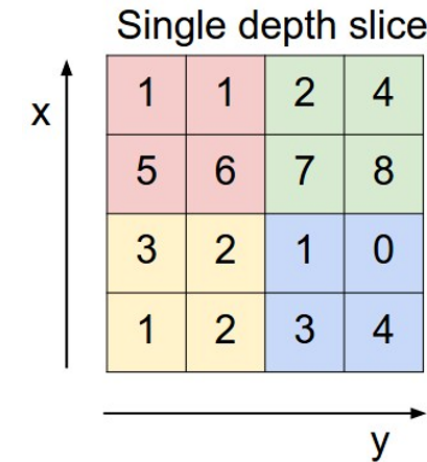
Pooled
feature

Invariance vs Equivariance

Invariance: внутреннее представление объекта не изменяется при изменении свойств этого объекта.



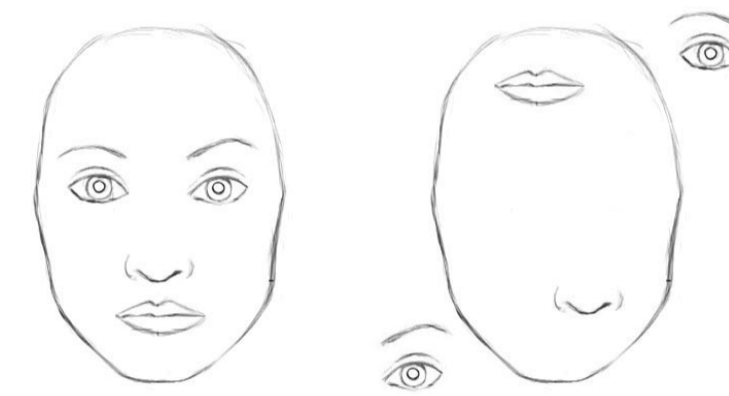
Hinton: “The pooling operation used in convolutional neural networks is a big mistake and the fact that it works so well is a disaster.”



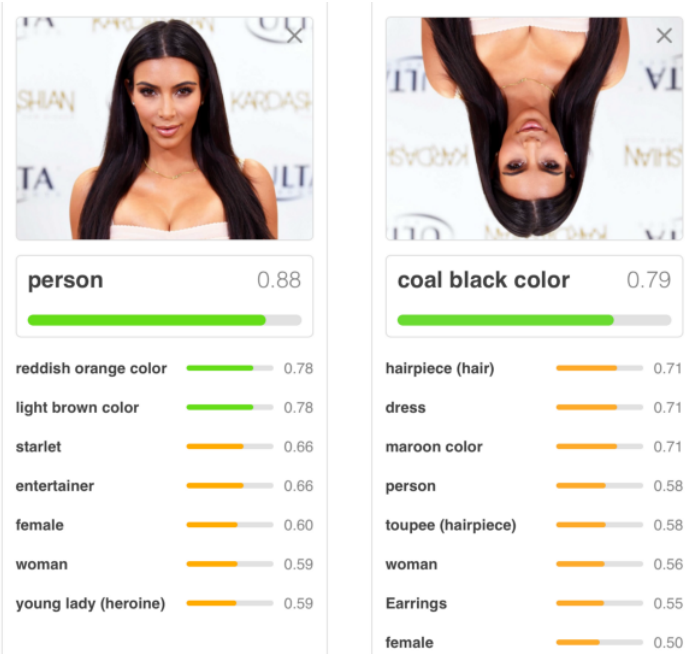
max pool with 2x2 filters
and stride 2

→

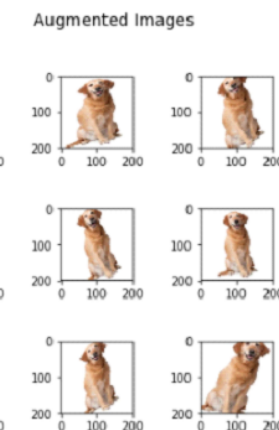
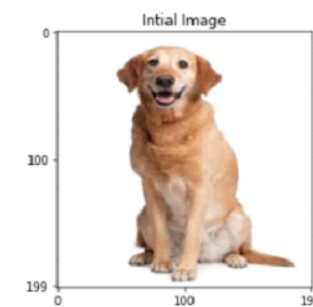
6	8
3	4



CNN не инвариантна таким преобразованиям изображения, как поворот, изменение цвета или условий освещения.



Augmentation



Equivariance

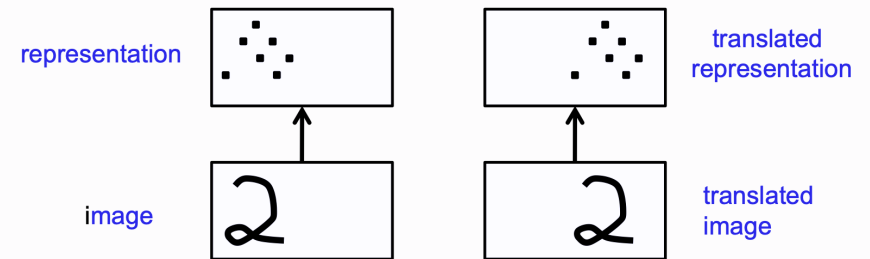
Equivariance: внутреннее представление фиксирует свойства объекта.

f эквивалентна g , если $f(g(x)) = g(f(x))$

$$g: l'(x,y) = l(x-1,y)$$

Equivariance

- Without the sub-sampling, convolutional neural nets give “place-coded” equivariance for discrete translations.



- A small amount of translational invariance can be achieved at each layer by using local averaging or maxing.

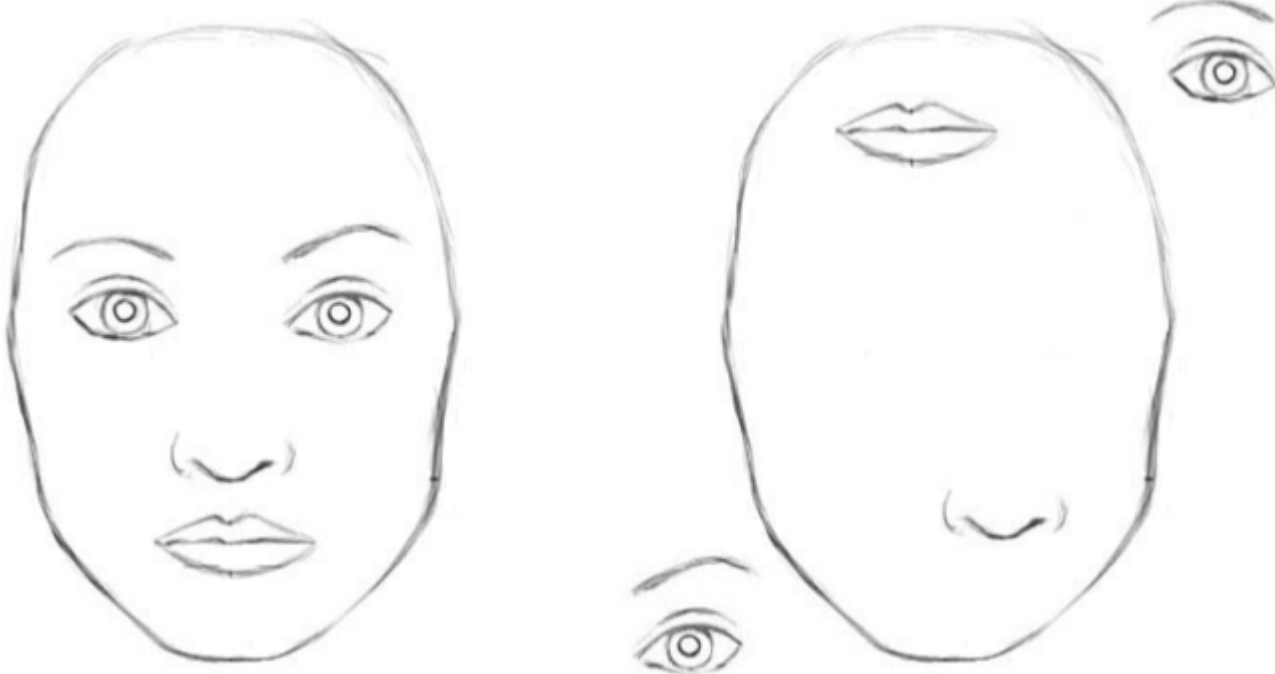


Мы можем с легкостью распознать, что на каждой картинке изображена Статуя Свободы, несмотря на то, что она изображена под разными углами

Все потому что, внутреннее представление Статуи Свободы в нашем мозге не зависит от угла просмотра.

Может быть человек никогда не видел именно этих картинок, но он может узнать, что на них изображено.

Проблемы свёрточных сетей



- Отсутствие информации об ориентации, проблемы при повороте объектов, изменении освещения и т.д.
- Большие потери информации на пуллинге.
- Отсутствие информации о расположении признаков относительно друг друга.

Капсульные нейронные сети

Капсула - расширение искусственного нейрона до векторной формы

Длина

Аналог выходного
сигнала
искусственного
нейрона

Ориентация

Хранит в себе
отклонение
состояния

Алгоритм динамической маршрутизации по соглашению

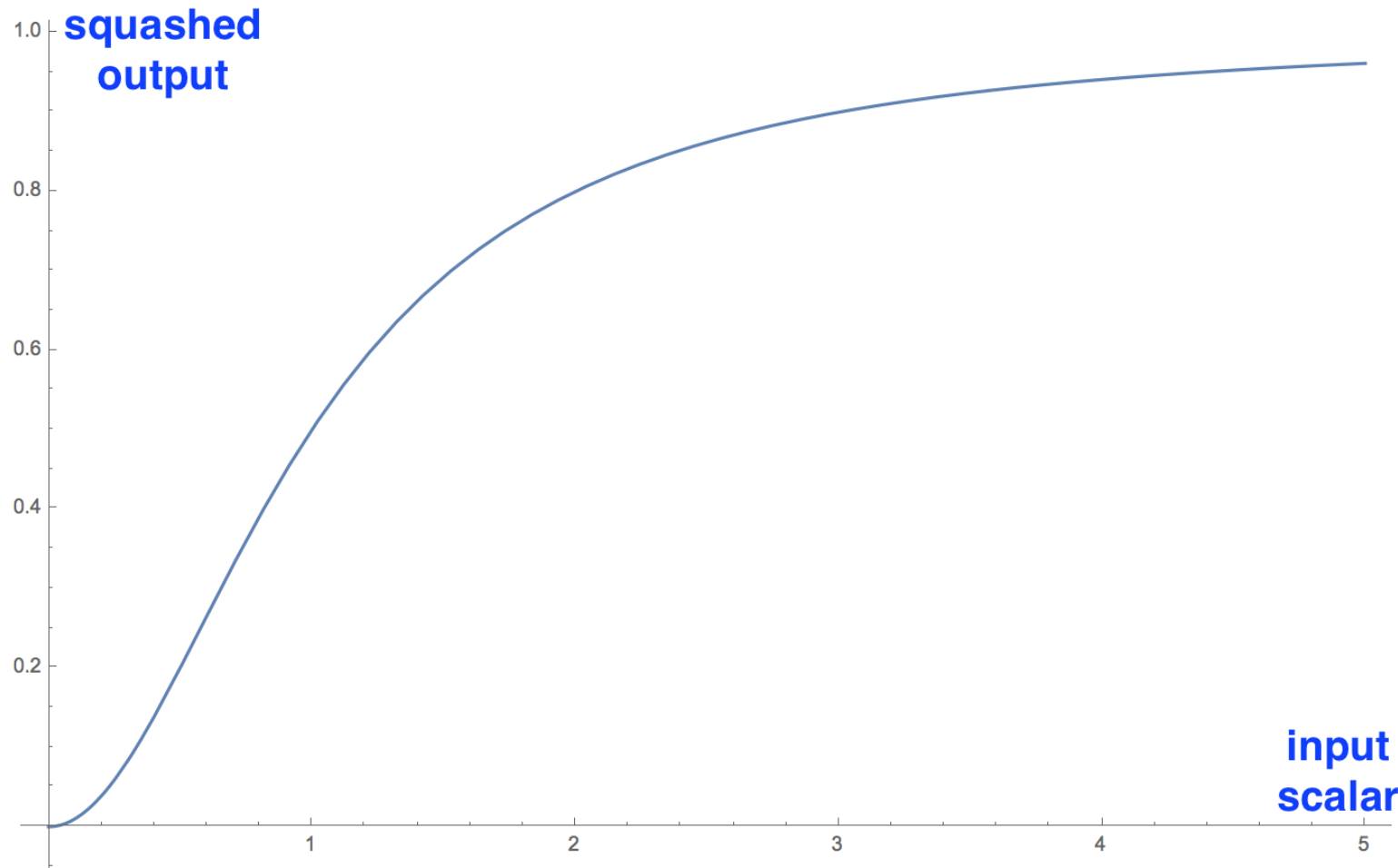
Capsule vs. Traditional Neuron		
Input from low-level capsule/neuron	vector(\mathbf{u}_i)	scalar(x_i)
Affine Transform	$\hat{\mathbf{u}}_{j i} = \mathbf{W}_{ij}\mathbf{u}_i$	-
Operation		
Weighting	$\mathbf{s}_j = \sum_i c_{ij} \hat{\mathbf{u}}_{j i}$	$a_j = \sum_i w_i x_i + b$
Sum		
Nonlinear Activation	$\mathbf{v}_j = \frac{\ \mathbf{s}_j\ ^2}{1+\ \mathbf{s}_j\ ^2} \frac{\mathbf{s}_j}{\ \mathbf{s}_j\ }$	$h_j = f(a_j)$
Output	vector(\mathbf{v}_j)	scalar(h_j)

Получение вектора предсказания

Суммирование с учетом коэффициентов связи

Функция активации (нормализация + нелинейность)

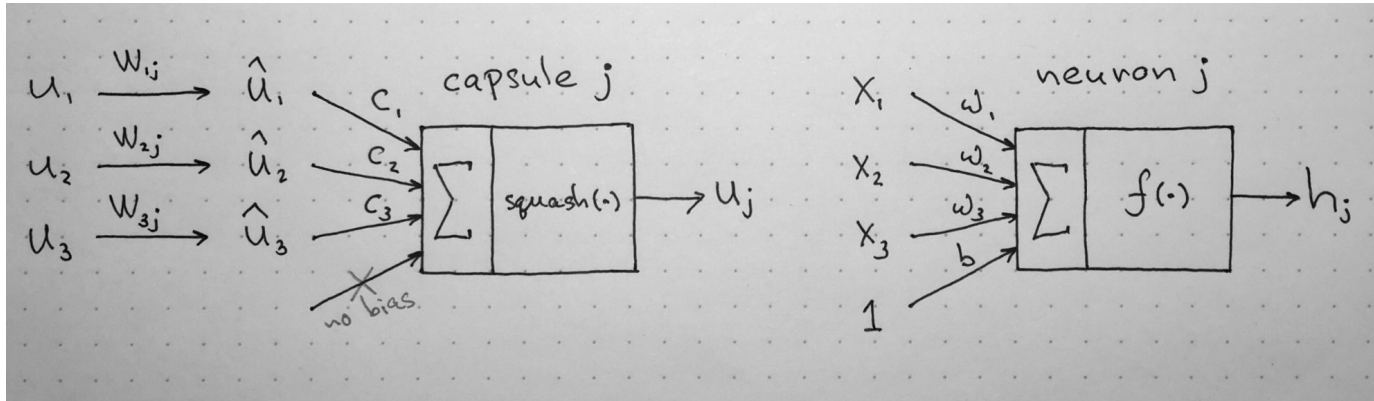
Squash



$$\mathbf{v}_j = \frac{\|\mathbf{s}_j\|^2}{1 + \|\mathbf{s}_j\|^2} \frac{\mathbf{s}_j}{\|\mathbf{s}_j\|}$$

additional “squashing” unit scaling

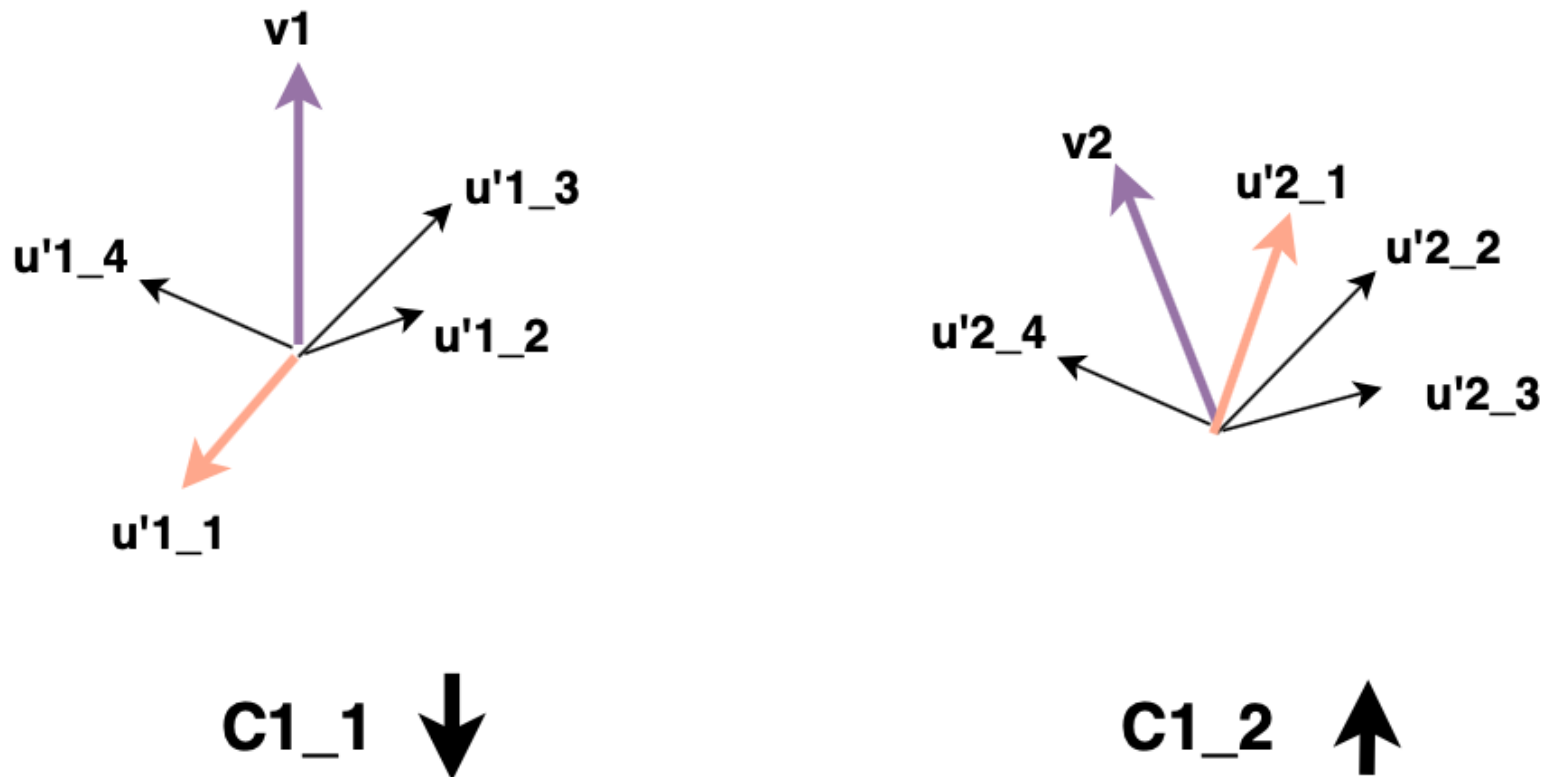
Алгоритм динамической маршрутизации по соглашению

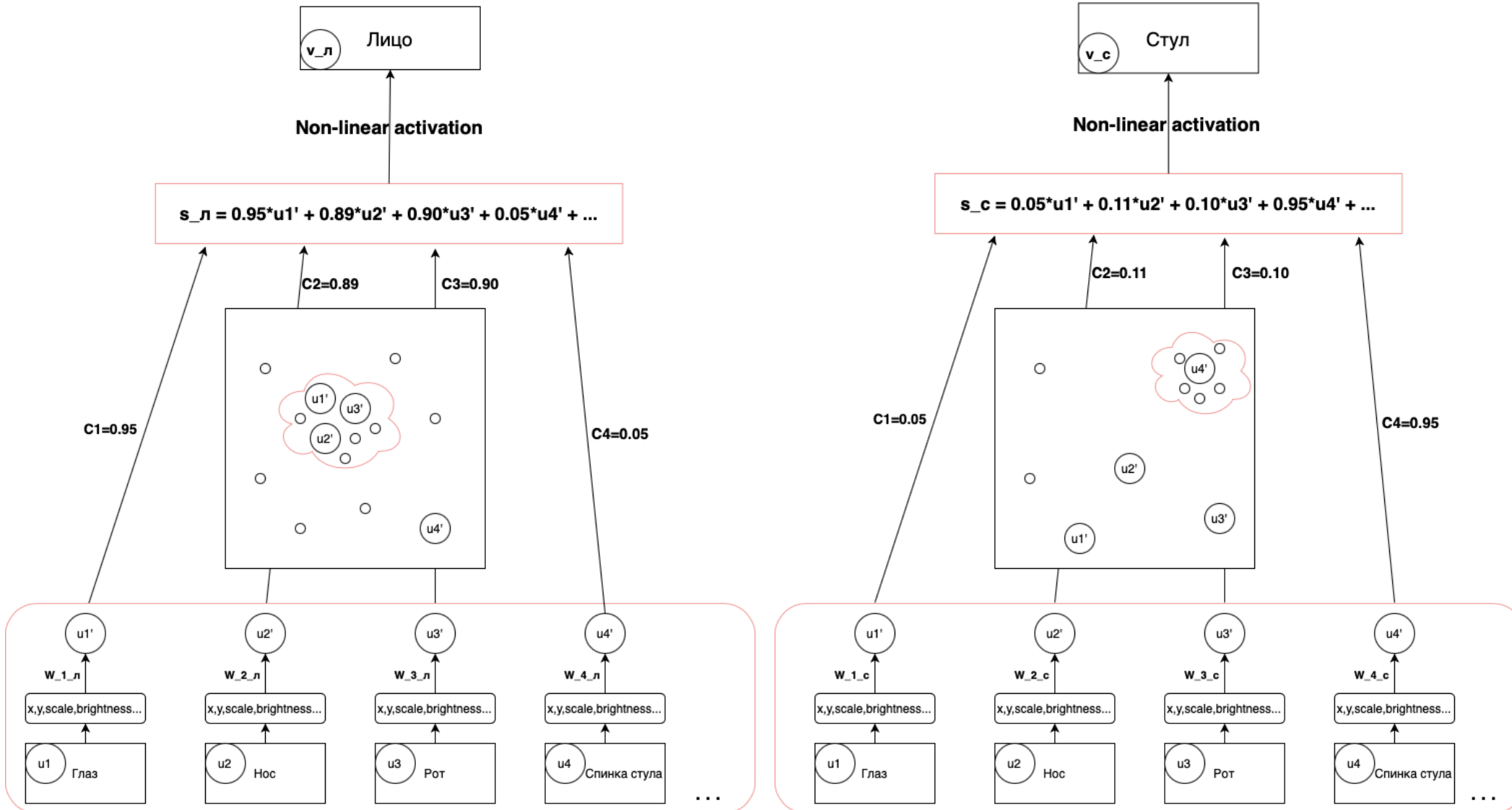


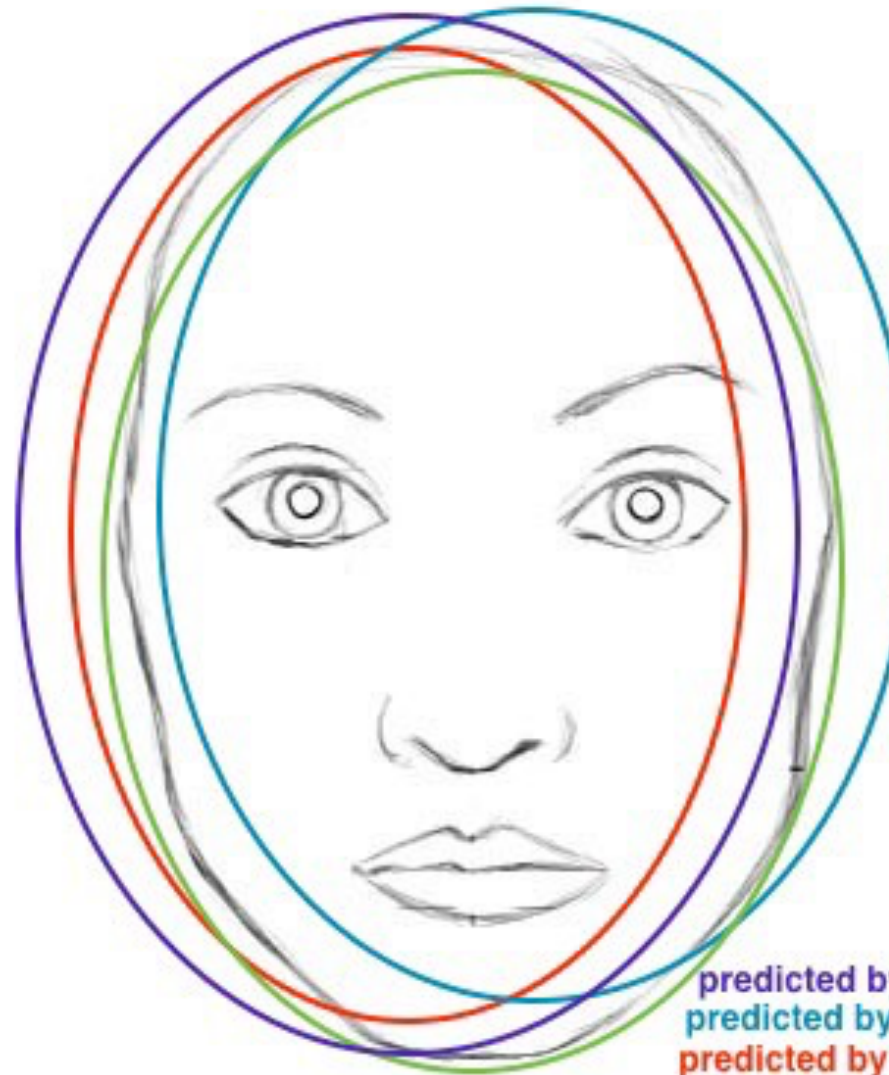
Procedure 1 Routing algorithm.

```
1: procedure ROUTING( $\hat{u}_{j|i}$ ,  $r$ ,  $l$ )
2:   for all capsule  $i$  in layer  $l$  and capsule  $j$  in layer  $(l + 1)$ :  $b_{ij} \leftarrow 0$ .
3:   for  $r$  iterations do
4:     for all capsule  $i$  in layer  $l$ :  $c_i \leftarrow \text{softmax}(b_i)$             $\triangleright \text{softmax}$  computes Eq. 3
5:     for all capsule  $j$  in layer  $(l + 1)$ :  $s_j \leftarrow \sum_i c_{ij} \hat{u}_{j|i}$ 
6:     for all capsule  $j$  in layer  $(l + 1)$ :  $v_j \leftarrow \text{squash}(s_j)$             $\triangleright \text{squash}$  computes Eq. 1
7:     for all capsule  $i$  in layer  $l$  and capsule  $j$  in layer  $(l + 1)$ :  $b_{ij} \leftarrow b_{ij} + \hat{u}_{j|i} \cdot v_j$ 
return  $v_j$ 
```

Алгоритм динамической маршрутизации по соглашению







predicted by nose
predicted by mouth
predicted by left eye
predicted by right eye

Функция потерь

CapsNet Loss Function

calculated for correct DigitCap

loss term for one DigitCap

$$L_c = T_c \max(0, m^+ - \|\mathbf{v}_c\|)^2 + \lambda (1 - T_c) \max(0, \|\mathbf{v}_c\| - m^-)^2$$

1 when correct DigitCap,
0 when incorrect

zero loss when correct prediction with probability greater than 0.9, non-zero otherwise

0.5 constant used for numerical stability

1 when incorrect DigitCap,
0 when correct

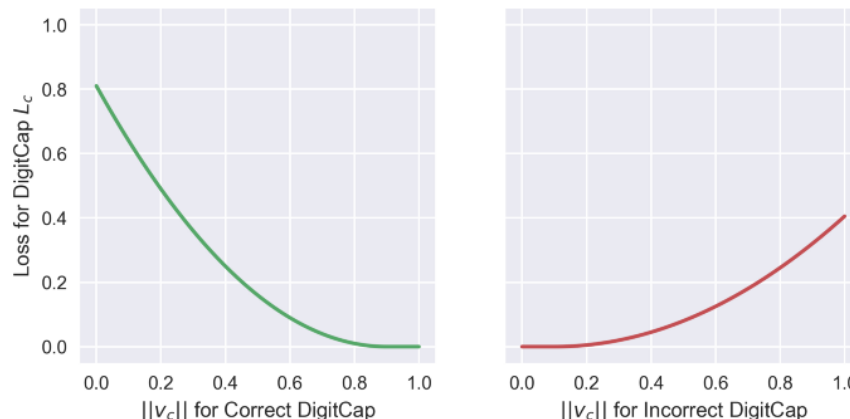
zero loss when incorrect prediction with probability less than 0.1, non-zero otherwise

L2 norm

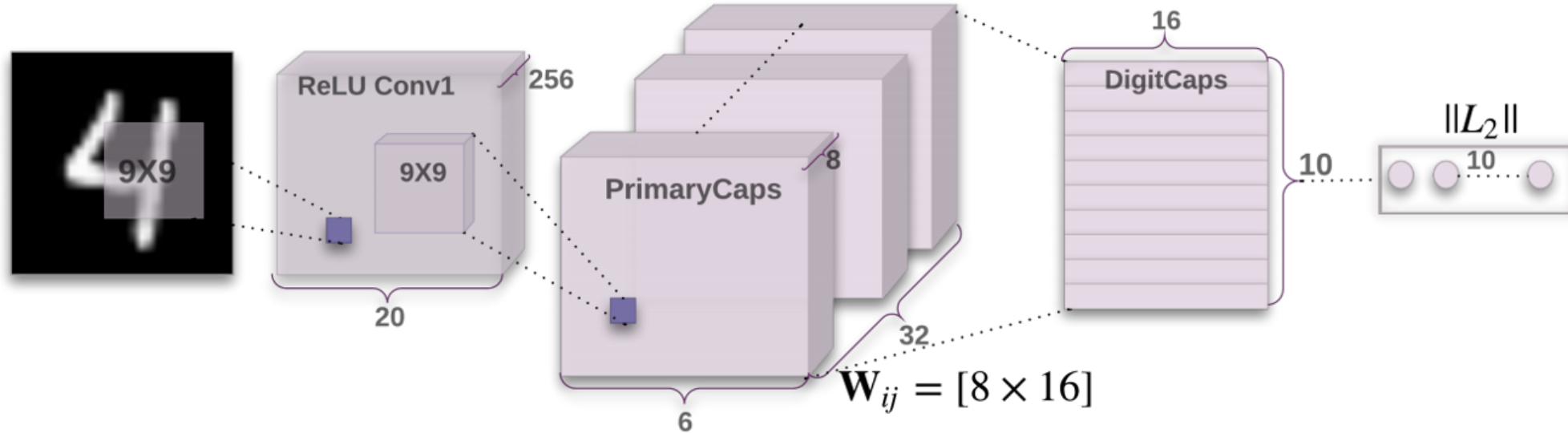
L2 norm

Note: correct DigitCap is one that matches training label, for each training example there will be 1 correct and 9 incorrect DigitCaps

Loss Function Value for Correct and Incorrect DigitCap

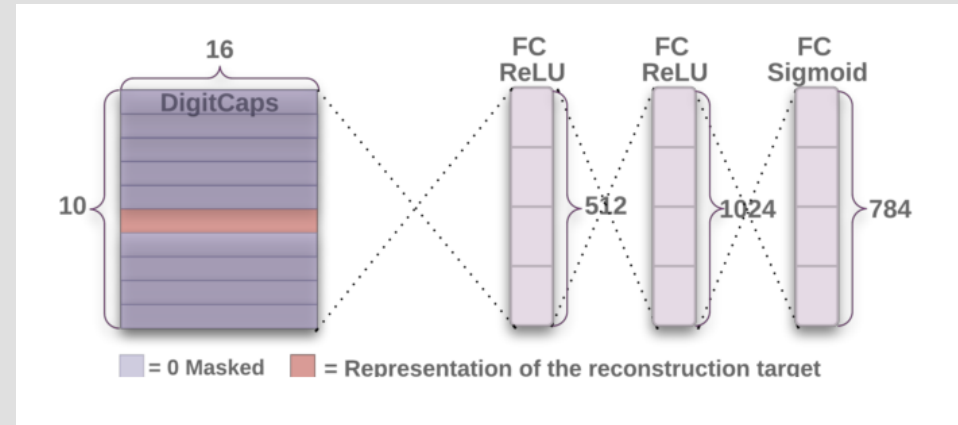


Архитектура CapsNet



Реконструкция

- Реконструктор принимает 16-мерный вектор капсулы соответствующий правильному изображению и пытается восстановить это изображение.
Используется в качестве регуляризатора.



(l, p, r)	(2, 2, 2)	(5, 5, 5)	(8, 8, 8)	(9, 9, 9)	(5, 3, 5)	(5, 3, 3)
Input						
Output						

1 epoch

7	2	1	0	4	1	4	9	5	9
0	6	9	0	1	5	9	7	3	4
9	6	6	5	4	0	7	4	0	1
3	1	3	4	7	2	7	1	2	1
1	7	4	2	3	5	1	2	4	4
7	2	1	0	4	1	4	9	5	9
0	6	9	0	1	5	9	7	3	4
9	6	6	5	4	0	7	4	0	1
3	1	3	4	7	2	7	1	2	1
1	7	4	2	3	5	1	2	4	4

5 epochs

7	2	1	0	4	1	4	9	5	9
0	6	9	0	1	5	9	7	3	4
9	6	6	5	4	0	7	4	0	1
3	1	3	4	1	7	2	7	1	2
1	7	4	2	3	5	1	2	4	4
7	2	1	0	4	1	4	9	5	9
0	6	9	0	1	5	9	7	3	4
9	6	6	5	4	0	7	4	0	1
3	1	3	4	7	2	7	1	2	1
1	7	4	2	3	5	1	2	4	4

10 epochs

7	2	1	0	4	1	4	9	5	9
0	6	9	0	1	5	9	7	3	4
9	6	6	5	4	0	7	4	0	1
3	1	3	4	1	7	2	7	1	2
1	7	4	2	3	5	1	2	4	4
7	2	1	0	4	1	4	9	5	9
0	6	9	0	1	5	9	7	3	4
9	6	6	5	4	0	7	4	0	1
3	1	3	4	7	2	7	1	2	1
1	7	4	2	3	5	1	2	4	4

15 epochs

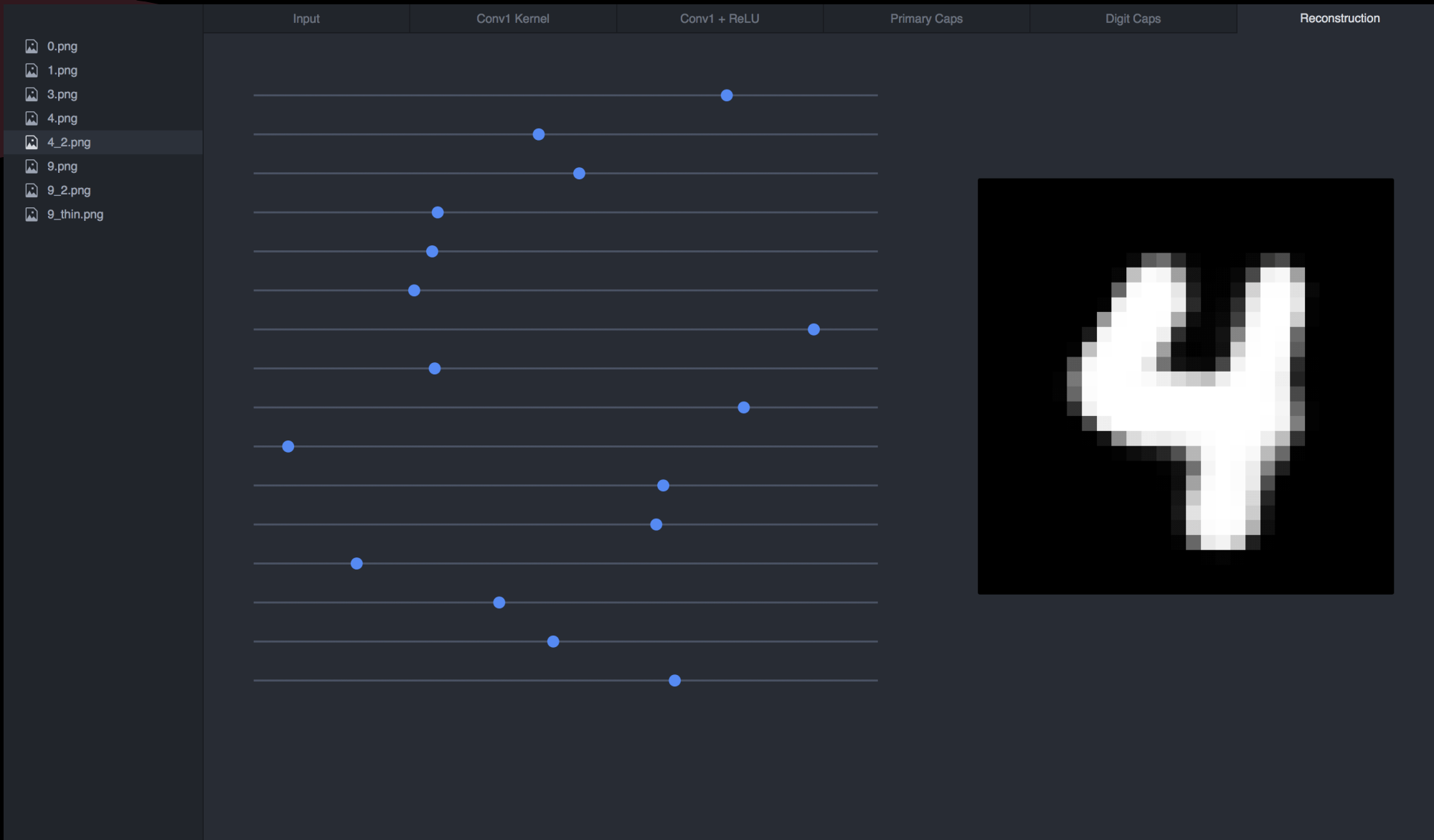
7	2	1	0	4	1	4	9	5	9
0	6	9	0	1	5	9	7	3	4
9	6	6	5	4	0	7	4	0	1
3	1	3	4	1	7	2	7	1	2
1	7	4	2	3	5	1	2	4	4
7	2	1	0	4	1	4	9	5	9
0	6	9	0	1	5	9	7	3	4
9	6	6	5	4	0	7	4	0	1
3	1	3	4	1	7	2	7	1	2
1	7	4	2	3	5	1	2	4	4

20 epochs

7	2	1	0	4	1	4	9	5	9
0	6	9	0	1	5	9	7	3	4
9	6	6	5	4	0	7	4	0	1
3	1	3	4	7	2	7	1	2	1
1	7	4	2	3	5	1	2	4	4
7	2	1	0	4	1	4	9	5	9
0	6	9	0	1	5	9	7	3	4
9	6	6	5	4	0	7	4	0	1
3	1	3	4	7	2	7	1	2	1
1	7	4	2	3	5	1	2	4	4

50 epochs

7	2	1	0	4	1	4	9	5	9
0	6	9	0	1	5	9	7	3	4
9	6	6	5	4	0	7	4	0	1
3	1	3	4	7	2	7	1	2	1
1	7	4	2	3	5	1	2	4	4
7	2	1	0	4	1	4	9	5	9
0	6	9	0	1	5	9	7	3	4
9	6	6	5	4	0	7	4	0	1
3	1	3	4	7	2	7	1	2	1
1	7	4	2	3	5	1	2	4	4

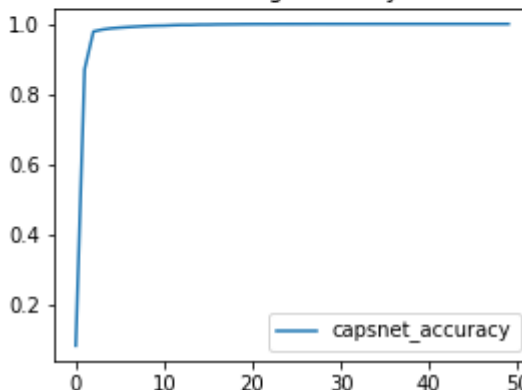
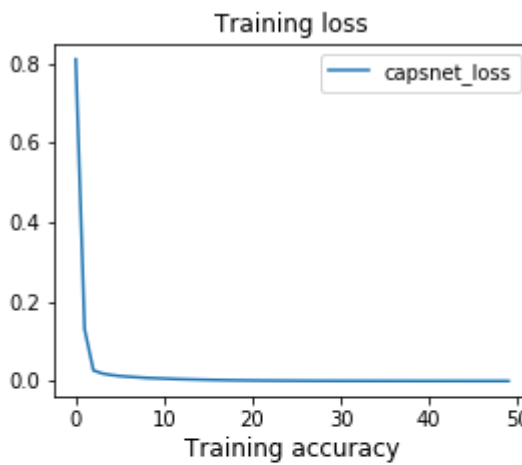


Результаты на MNIST

Table 1: CapsNet classification test accuracy. The MNIST average and standard deviation results are reported from 3 trials.

Method	Routing	Reconstruction	MNIST (%)	MultiMNIST (%)
Baseline	-	-	0.39	8.1
CapsNet	1	no	0.34 ± 0.032	-
CapsNet	1	yes	0.29 ± 0.011	7.5
CapsNet	3	no	0.35 ± 0.036	-
CapsNet	3	yes	0.25 ± 0.005	5.2

epochs	Test accuracy
1	0.9674
5	0.9866
10	0.9877
20	0.9906
50	0.9931



Результаты на других датасетах



Fig. 1. Example images from the Yale face database B.



Fig. 2. Example images from the MIT CBCL dataset.



Fig. 3. Example images from the Belgium TS dataset.



Fig. 4. Example images from the Cifar-100 dataset

Table 3. Comparison of classification results.

Dataset	Classes	Instances	Algorithm	Baselines		CapsNet	
				Avg. training time	Test accuracy	Avg. training time	Test accuracy
Yale Face Database B	38	5850	Fisherface	~5 minutes*	98.2%**	~24 hours***	95.3%
MIT CBCL (faces)	10	5240	Fisherface	~1 minute*	98.3%**	~14 hours***	99.87%
BelgiumTS (traffic signs)	62	7000	Modified LeNet	<1 minute*	98.2%	16 hours***	92% (40 epochs)
CIFAR-100 (objects)	100	60000	Resnet 50	20 hours (200 epochs)	65.5%	18 hours***	18% (35 epochs)

* Core i7 extreme 7th generation, 16 GB RAM, Nvidia GeForce 1050 Ti Mobile

** With best parameters we discovered using multiple tests with training and validation sets

*** Google cloud, Intel Xeon, 5 Gb RAM, NVIDIA Tesla K80

Итоги

Плюсы:

- Эквивариантность нейронной активности в отношении изменений входных данных и инвариантности в вероятностях обнаружения признаков
- Инкапсуляция ценной информации вместо простого выбора максимальных значений

Минусы:

- Вычислительная сложность
- Малая исследованность => Низкая точность